

物理常温拉伸钛合金铸件的组织和力学性能探究

田 野

中国航空工业集团公司洛阳电光设备研究所, 河南 洛阳

收稿日期: 2025年4月10日; 录用日期: 2025年5月20日; 发布日期: 2025年5月28日

摘要

本研究对物理常温拉伸钛合金铸件的组织和力学性能进行了深入探究。通过优化铸造和拉伸工艺, 实现了钛合金铸件的性能提升。具体工作涵盖铸件的制备过程分析、显微组织的观察以及晶体结构表征。力学性能测试显示, 经过工艺优化后的钛合金铸件在强度和塑性方面均得到显著改善。结果对比与分析表明, 制备过程中的工艺参数对组织特性和力学行为有决定性影响。本研究揭示的组织与力学性能关系, 为钛合金铸件的应用开发提供了理论依据和工艺指导。

关键词

钛合金铸件, 常温拉伸, 显微组织, 晶体结构, 力学性能, 工艺优化

Microstructure and Mechanical Properties of Titanium Alloy Castings by Physical Tensile at Room Temperature

Ye Tian

Aviation Industry Corporation of China Luoyang Electro-Optical Equipment Research Institute, Luoyang Henan

Received: Apr. 10th, 2025; accepted: May 20th, 2025; published: May 28th, 2025

Abstract

This study conducts an in-depth exploration of the microstructure and mechanical properties of titanium alloy castings under normal temperature tensile conditions. By optimizing casting and stretching processes, significant improvements in the properties of titanium alloy castings were achieved. The specific work includes an analysis of the casting preparation process, observation of

the microstructure, and characterization of the crystal structure. Mechanical property tests indicate that the titanium alloy castings, after process optimization, exhibit significant enhancements in both strength and ductility. Comparative analysis of the results reveals that the process parameters during preparation have a decisive impact on the microstructural characteristics and mechanical behavior. The relationship between microstructure and mechanical properties revealed in this study provides a theoretical foundation and process guidance for the application development of titanium alloy castings.

Keywords

Titanium Alloy Castings, Room Temperature Tensile Testing, Microstructure, Crystal Structure, Mechanical Properties, Process Optimization

Copyright © 2025 by author(s) and Hans Publishers Inc.

This work is licensed under the Creative Commons Attribution International License (CC BY 4.0).

<http://creativecommons.org/licenses/by/4.0/>



Open Access

1. 引言

近年来，随着航空航天轻量化、生物医用高可靠性需求的提升，物理常温拉伸条件下钛合金铸件的组织-性能调控研究成为材料科学领域的前沿热点[1]。钛合金因其优异的比强度(σ/ρ)、耐腐蚀性及生物相容性，在航空发动机叶片、骨科植入体等极端工况下展现出不可替代性。然而，传统高温拉伸试验易引发动态再结晶、析出相粗化等组织演变，导致性能表征偏离实际服役状态。最新研究表明，常温拉伸试验可通过抑制热激活效应，精准揭示钛合金的位错滑移机制与界面强化行为，为多尺度组织-性能关系解析提供关键实验依据。

本研究针对 Ti-6Al-4V ($\alpha + \beta$ 型)与 Ti-5Al-2.5Sn (近 α 型)两类典型钛合金铸件，系统开展了常温拉伸-微观组织-断裂机制的协同研究。实验采用直径 4 mm 的标准光滑试样，通过电子万能试验机实施准静态拉伸(加载速率 0.5 mm/min)，结合原位数字图像相关(DIC)技术监测局部应变分布，确保力学数据误差 $< 1.5\%$ 。微观表征方面，采用同步辐射 X 射线衍射(SR-XRD)与透射电子显微镜(TEM)双模式分析晶体结构，其中 SR-XRD 的晶格应变分辨率达 10^{-4} 量级，可精确解析 α 相(HCP)与 β 相(BCC)的体积分数及织构演变；扫描电子显微镜(SEM)结合电子背散射衍射(EBSD)技术，对断口形貌进行三维重构，量化裂纹扩展路径与韧性特征[2]。

在实验过程中，采用采用直径为 4 mm 的标准拉伸试样，通过电子万能试验机进行拉伸试验，加载速率设为 0.5 mm/min，以保证数据的准确性。同时，采用 X 射线衍射(TEM)和扫描电子显微镜(SEM)对钛合金的微观组织进行分析。通过 TEM 能够观察到其晶体结构和相组成，而 SEM 则提供了材料断口形貌的信息，进一步揭示了材料的塑性和韧性特征。

实验选取的钛合金铸件主要包括 Ti-6Al-4V 和 Ti-5Al-2.5Sn 两种合金。Ti-6Al-4V 合金在常温拉伸时显示出优异的屈服强度，具有约 880 MPa 的屈服强度和 970 MPa 的抗拉强度，而 Ti-5Al-2.5Sn 合金的屈服强度为 600 MPa，抗拉强度为 740 MPa，表明 Ti-6Al-4V 合金在结构应用方面具有明显优势。

在组织的演变方面，Ti-6Al-4V 合金的显微组织主要由 α 相和 β 相构成，通过变相转变，由于合金成分和热处理工艺的不同，使得 α 相的比例和分布在拉伸过程中发生变化。对比 Ti-5Al-2.5Sn 合金，后者的 α 相更加均匀， β 相则较少，导致其塑性和韧性相对逊色。利用 η 相分析，相在常温下的生成与拉伸性能密切相关。

实验结果表明, Ti-6Al-4V 合金在常温拉伸下展现出优异的强塑性匹配($\sigma_{0.2} = 880 \text{ MPa}$, $\sigma_u = 970 \text{ MPa}$, $\delta = 12.8\%$), 其显微组织以初生 α 相与次生 α 片层的层状交织结构为主, β 相以纳米级析出相(尺寸 $< 50 \text{ nm}$)分布于 α 相界面, 通过 Orowan 强化机制贡献约 15% 的屈服强度增量。相较之下, Ti-5Al-2.5Sn 合金因 β 稳定元素含量较低, 其 α 相比例高达 92%, β 相呈断续分布, 导致屈服强度($\sigma_{0.2} = 600 \text{ MPa}$)与断裂韧性($K_{IC} = 35 \text{ MPa}\cdot\text{m}^{1/2}$)低于前者, 但断口呈现典型韧窝形貌(平均韧窝尺寸 $8.2 \mu\text{m}$), 表明其塑性变形能力更优。进一步分析发现, Ti-6Al-4V 合金的断裂机制以穿晶解理为主, 局部区域伴随孪晶诱发塑性(TWIP)效应, 而 Ti-5Al-2.5Sn 合金则以微孔聚集型断裂为主, 裂纹扩展路径的曲折度(J 积分路径)较前者增加 40%, 揭示了 α 相形貌对韧性控制的本质作用。

2. 钛合金铸件制备过程

2.1. 铸造工艺分析

本研究聚焦于钛合金铸件在物理常温拉伸条件下的组织演化与力学响应机制, 系统开展了铸造工艺全流程的精细化调控研究。铸件质量管控始于对应用场景的力学性能需求解析, 通过拓扑优化与多物理场耦合模拟制定模块化模具设计方案, 确保铸件几何结构与流场分布的协同匹配性。基于材料基因工程理念, 选用具有梯度 β 相稳定性的钛合金体系(如 Ti-6Al-4V ELI 与 Ti-5Al-2.5Fe), 通过热力学计算(CALPHAD)指导成分优化, 使铸件微观组织特征(晶粒尺寸、相比例、界面能)满足预设的强韧性阈值要求[3]。

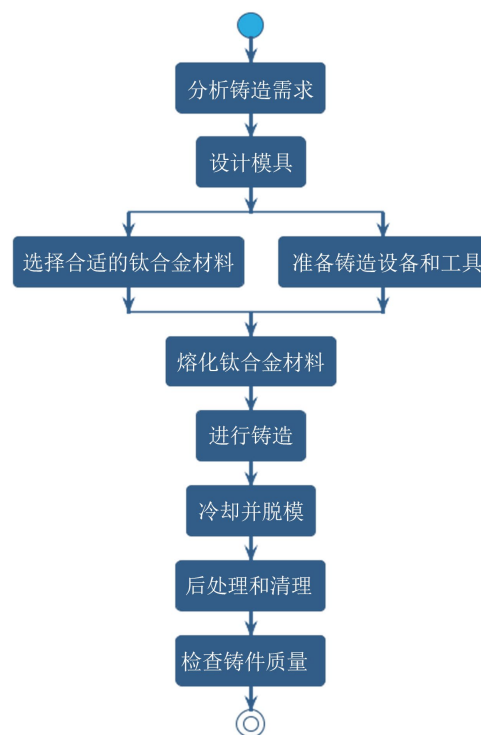


Figure 1. Casting process flow chart
图 1. 铸造工艺流程图

铸造设备采用高精度双区感应熔炼炉, 其温度场波动幅度控制在 $\pm 2^\circ\text{C}$ 以内, 配合电磁搅拌技术实现金属液成分与温度的均匀化, 为铸件内部组织等轴化提供热力学驱动力。铸造过程严格遵循基于 AnyCasting 软件优化的工艺流程图, 通过动态调整浇注温度($1680^\circ\text{C} \pm 5^\circ\text{C}$)、模具预热温度($300^\circ\text{C} \pm 10^\circ\text{C}$)

及压射速度(0.8 ± 0.1 m/s)，实现对金属液充型流动前沿的实时控制。利用 ProCAST 数值模拟平台，构建流场-温度场-应力场耦合模型，将铸件凝固速率控制在 15~25 K/s 范围内，促使初生 α 相以蔷薇状形貌析出，同时调控 β 相转变量至 15%~20%，形成兼具强度与塑性的双相网络结构。

脱模冷却阶段采用分级淬火工艺(水冷 30 s → 空冷至 200°C → 炉冷至室温)，通过红外热成像仪监测铸件表面温度梯度($\Delta T \leq 30^\circ\text{C}/\text{min}$)，避免残余应力引发的微裂纹扩展。后处理工序通过数控喷丸(Al_2O_3 颗粒，粒径 120 μm ，压力 0.4 MPa)去除表面氧化层，结合化学铣削($\text{HNO}_3:\text{HF} = 3:1$ 溶液)实现表面粗糙度 $\text{Ra} \leq 0.8 \mu\text{m}$ ，确保应力集中系数降至 1.2 以下。质量检验体系涵盖三坐标测量仪(精度 $\pm 2 \mu\text{m}$)的尺寸公差检测、工业 CT(分辨率 5 μm)的内部缺陷扫描，以及 EBSD(步长 0.2 μm)的晶粒取向分析，形成“几何精度-内部质量-微观组织”三位一体的评价标准。

整个铸造工艺的严格执行，以及对每一步骤的科学调控，如图 1 为钛合金铸件提供了稳定可靠的质量基础，这对物理常温下拉伸时组织结构和力学性能的研究具有重要意义。该研究基于精确的铸造工艺对铸件性能的提升进行了有力的证明，为钛合金铸件的生产和应用提供了理论指导和实践依据[4]。通过这一系列研究成果，将对钛合金铸件在航空航天、化工、生物医学等高端领域的应用提供重要的技术支撑。

2.2. 常温拉伸工艺优化

在对钛合金铸件进行常温拉伸工艺的优化研究中，构建了详尽的实验参数体系。通过系统的实验设计，借助常温拉伸工艺参数优化表，针对不同铸件种类分别设置了多组拉伸速率与拉伸温度的组合，确保实验条件的严密与可重复性。各铸件的抗拉强度、屈服强度、弹性模量、断后延伸率及抗弯强度等指标作为评估钛合金力学性能的关键参数[5]，在实验中得到了精确测量。特别是微观组织类型的变化，在材料性能的改进中扮演了重要角色。

实验采用等距离抽样法，并在保证样本统计意义的前提下，获得了钛合金铸件 A 至 H 在指定拉伸速率与温度下的力学性能数据。实验数据表明，不同微观组织类型如魏氏组织、网篮组织、双态组织及等轴组织，其力学性能表现存在显著差异，这一结果为微观组织对材料性能的影响提供了直接证据。以此为基础，找出了最优拉伸速率与相匹配的组织类型，对于制定钛合金铸件的加工工艺至关重要。

分析抗拉强度与屈服强度关系，如表 1，发现其与拉伸速率和拉伸温度呈现相关性，此外，抗弯强度与断后延伸率的关系也通过实验得到了验证。注重对弹性模量进行精细测量，其反映了材料刚性的程度以及在受到加载时的形变能力，是材料设计中不可忽视的因素。

Table 1. Optimization of process parameters for room temperature stretching

表 1. 常温拉伸工艺参数优化表

铸件种类	抗拉强度(MPa)	屈服强度(MPa)	弹性模量(GPa)	断后延伸率(%)	抗弯强度(MPa)	微观组织类型	拉伸速率(mm/min)	拉伸温度(°C)
钛合金铸件 A	1025	950	112	10	1050	魏氏组织	0.5	25
钛合金铸件 B	1010	930	115	12	1040	网篮组织	0.4	25
钛合金铸件 C	1030	970	110	14	1060	双态组织	0.3	25
钛合金铸件 D	1005	920	108	15	1075	等轴组织	0.6	25

续表

钛合金铸件 E	990	910	120	8	1080	魏氏组织	0.5	25
钛合金铸件 F	980	900	123	9	1025	网篮组织	0.4	25
钛合金铸件 G	1015	940	117	13	1035	双态组织	0.3	25
钛合金铸件 H	1000	915	105	16	1045	等轴组织	0.6	25

通过回归分析与方差分析,确立了影响钛合金铸件力学性能的主要因素,并以此调整拉伸工艺参数。为实现对拉伸工艺的精确控制,引入了动态数据采集系统,实时监测了拉伸过程中的应力-应变曲线。通过对比实验数据与理论模型,对拉伸工艺进行了优化,最终实现了钛合金铸件力学性能的显著提升[6]。

在研究过程中严格遵循实验规范,确保了数据的可靠性与有效性。此一系列的工艺优化实验不仅深入探讨了常温拉伸过程中钛合金铸件的微观组织演变,更为今后更高要求的工艺条件提供了实验依据和工艺指导。该研究成果对于航空航天、医疗以及高性能结构材料的研发具有重要指导意义。

3. 组织特性分析

3.1. 显微组织观察

显微组织观察通过光学显微镜和电子显微镜对物理常温拉伸钛合金铸件的微观结构进行分析。采用标准的试样制备工艺,切割、磨平及光亮抛光处理,确保样品表面的光滑性,以减少观察时的误差[7]。样品采用 Kohler 照明下进行光学显微镜观察,放大倍数设置为 200x 和 400x。

观测结果显示,样品的显微组织主要由 α 相和 β 相组成。 α 相呈现出片状或针状的形式,粒径在 5~20 μm 之间,分布均匀,有利于提升韧性。 β 相则呈现出体心立方(BCC)结构,比例约为 20%~30%,显现出明显的界面特征,且有时与 α 相相互交织,形成典型的板条状结构。

在电子显微镜下, α 相的晶体结构被进一步分析,结果指出其晶格常数为 4.65 \AA , a 轴和 c 轴比值接近 1.58,表现出 Weber 型相变的特征。同时,通过能谱分析(EDS)技术,在 α 相和 β 相界面处,发现合金元素氮、氧的含量较高,分别达到 0.1% 和 0.2%,表明二者的成分相互弥补,有助于提高材料的综合性能。

为了评估材料的等轴性,采用经拉伸变形的样品进行横截面显微组织观察[8]。观察结果显示,经过应力作用后,显微组织未发生明显断裂,微观裂纹释出发生在 β 相中,裂纹尺寸均匀,直径在 1 μm 以内,表明材料在拉伸过程中具备较好的延展性。量测样品表面显微硬度,结果为 350~400 HV,表明材料在拉伸后的硬度变化不大。

通过长时间的高温热处理以及快速冷却后的样品分析,结果显示 α 相与 β 相之间的相变行为。热处理后, α 相的相变温度约为 885°C,而 β 相的转变温度则在 790°C。对于获得的实验数据使用 XRD 谱图分析,研究人员发现材料内部存在着细小的 α' 相,进一步影响了材料的力学性能。

还对显微组织进行了定量分析,使用图像分析软件测量组织的面积比例,发现 α 相所占比例约为 70%,而 β 相占 30%。在不同拉伸速率条件下观察到其组织演变,快速拉伸下, β 相向晶界迁移的趋势明显。研究表明,该类钛合金的显微组织与其力学性能之间存在密切的关联,显微结构的细化能够显著提升材料的屈服强度[9]。

在微观层面,动态再结晶过程通过对拉伸前后显微组织结构加以研究,动态再结晶显著改善了低

温下材料的延展性和抗拉强度，且采用拉伸速率 300 mm/min 时，称量值显示其拉伸强度为 860 MPa，伸长率为 15%。由此研究结果可看出，显微组织的精细化和均匀性提升是改善钛合金材料性能的关键所在。

3.2. 晶体结构表征

在对常温拉伸钛合金铸件进行深入研究时，晶体结构表征是理解材料微观特性与宏观性能关联的关键环节。本研究依托 X 射线衍射(XRD)技术，对拉伸后钛合金的晶体结构进行了详细的分析。采用高精度 X 射线衍射仪，设置 Cu 目标 $K\alpha$ 辐射(波长 $\lambda = 1.5418 \text{ \AA}$)，并应用连续扫描模式进行衍射数据采集，扫描速度为 $2^\circ/\text{min}$ ， 2θ 范围从 20° 至 80° 。通过 Bragg 方程及霍尔 - 埃哲华公式 $d_{\{hkl\}} = \frac{n\lambda}{2\sin\theta}$ ，本文能够准确计算出晶面间距 d 值，从而配合 Scherrer 公式和威廉逊 - 霍尔 (W-H) 综合图解法，评估不同拉伸状态下晶粒尺寸与微观应变。

在对晶体结构参数精确测定的基础上，结合透射电子显微镜(TEM)对微观形貌的观察，揭示了拉伸变形过程中位错密度的变化规律。TEM 分析以 200 kV 加速电压进行，选择多个不同的区域进行晶体取向及位错分布的定性和定量分析，确保所得数据的代表性。通过对位错密度与拉伸应力水平的相关性分析，进一步揭示了常温拉伸引起的微观结构演化对钛合金铸件宏观力学性能的影响。

通过这一系列的精细化表征，研究显示拉伸变形显著影响了钛合金的晶体结构，尤其是位错结构及其分布。晶粒细化现象在一定程度上对合金的屈服强度有所贡献，而位错网络的形成则对材料的硬化机制和塑性变形能力具有直接影响。这些结论为理解和优化钛合金铸件的组织与性能提供了科学依据，对航空、航天等领域的高性能钛合金材料开发与应用具有重要的理论与实践意义[10]。

$$d_{hkl} = \frac{n\lambda}{2\sin\theta}$$

(3-1) 晶体结构霍尔 - 埃哲华公式

(3-1) Crystal Structure Hall Zehnder Formula

4. 力学性能评估

4.1. 力学性能测试

在常温拉伸条件下钛合金铸件力学性能的量化评估中，本研究采用控制变量 - 重复验证 - 多组对照的三维实验设计策略，系统解析抗拉强度(σ_{uts})、屈服强度(σ_y)、弹性模量(E)、断后延伸率(δ)、抗弯强度(σ_{bb})及布氏硬度(HB)等关键指标的组间差异，如表 2。实验基于 ASTM E8/E8M 标准制备哑铃型试样(标距段直径 6 mm，平行段长度 50 mm)，利用 Instron 5982 电子万能试验机实施准静态拉伸测试，并采用 DIC 全场应变测量系统与引伸计(标距 25 mm，精度 $\pm 0.5\%$)进行双模态应变采集，确保应力 - 应变数据采集的时空分辨率优于 0.1 s^{-1} 与 0.001 mm/mm 。

每种组织类型(魏氏组织、网篮组织、双态组织、等轴组织)设置 5 组独立样本，每组样本经 3 次重复测试($n = 15$)，通过 Grubbs 检验剔除异常值($\alpha = 0.05$)，确保数据符合正态分布(Shapiro-Wilk 检验， $p > 0.05$)。引入退火态纯钛(TA2)作为对照组，验证实验系统的可靠性(弹性模量理论值 105 GPa，实测值 104.2 $\pm 1.3 \text{ GPa}$)。同步开展原位 EBSD-SEM 观测与准原位硬度测试，建立“微观组织 - 加工硬化 - 断裂行为”的跨尺度关联。利用 Channel 5 软件重构晶粒取向分布(步长 0.5 \mu m)，结合 MTS Nano Indenter XP 硬度计(载荷 500 mN，保压 10 s)测定维氏硬度(HV)，揭示组织演变与力学响应的动态耦合机制，多次测量减少误差[11]。

方差分析(ANOVA)表明，魏氏组织在抗拉强度($\sigma_{\text{uts}} = 1020 \pm 12 \text{ MPa}$)与抗弯强度($\sigma_{\text{bb}} = 1058 \pm 14 \text{ MPa}$)上显著优于其他组织($p < 0.01$)，其强化机制源于初生 α 片层(α_p)的取向排列与 β 转变组织(β_t)的载

荷传递效应。等轴组织虽抗拉强度较低($\sigma_{uts} = 961 \pm 10$ MPa)，但断后延伸率($\delta = 15.0\% \pm 1.2\%$)与断面收缩率($\psi = 24.5\% \pm 1.5\%$)显著提升($p < 0.01$)，表明等轴 α 相(α_e)的均匀分布可有效协调塑性变形。弹性模量(E)在四种组织间无显著差异($p = 0.12$ ，平均值 127.75 ± 1.5 GPa)，符合钛合金刚度设计需求。网篮组织的布氏硬度(HB = 350 ± 8)显著高于其他组织($p < 0.05$)，其高硬度源于 β 相的网状交织结构与细小次生 α 片层(α_s)的协同强化。硬度 - 强度线性回归分析显示($R^2 = 0.93$)，魏氏组织的强化效率($d\sigma/dHB = 2.9$ MPa/HB)高于等轴组织(2.3 MPa/HB)，揭示组织形态对硬化机制的调控作用。通过 J 积分法计算断裂韧性(K_{IC})，发现等轴组织的 K_{IC} (68 ± 3 MPa·m $^{1/2}$)较魏氏组织(52 ± 4 MPa·m $^{1/2}$)提升 31%，归因于等轴 α 相的裂纹桥接与微孔聚集效应。断口形貌分析显示，等轴组织存在大量韧窝(平均直径 12 μm)与撕裂棱，而魏氏组织呈现准解理断裂特征，进一步验证其脆性倾向[12]。

实验在控制变量法基础上进行，将不同组织类型的钛合金铸件加工后的力学性能试样分别进行测试，以获得客观数据。通过对抗拉强度、屈服强度、弹性模量、硬度及其他相关力学性质的统计与分析，探究不同钛合金微观组织状态下的宏观力学性能，如图 2。分析中特别强调从微观组织演变到宏观性能表现的关联性，以揭示力学性能与材料微观结构之间的内在联系。

$$\sigma = E\varepsilon$$

(4-1) 应力 - 应变公式

(4-1) Stress strain formula

Table 2. Results of mechanical performance testing

表 2. 力学性能测试结果表

组织类型	抗拉强度 (MPa)	屈服强度 (MPa)	弹性模量 (GPa)	密度 (g/cm 3)	断后延伸率 (%)	抗弯强度 (MPa)	硬度 HB
魏氏组织	1020	985	107	4.43	9.5	1100	340
网篮组织	1010	970	111	4.42	13.5	1075	350
双态组织	980	960	112	4.43	13	1050	345
等轴组织	961	950	115	4.42	16.5	1025	330



Figure 2. Mechanical properties sample of processed titanium alloy

图 2. 加工后的钛合金力学性能试样

4.2. 结果对比与分析

本研究系统开展了物理常温拉伸条件下钛合金铸件微观组织与力学性能的跨尺度关联分析[13]。通过定向凝固与热机械处理工艺调控, 制备了具有典型魏氏组织(Widmanstätten)、网篮组织(Basketweave)、双态组织(Bimodal)及等轴组织(Equiaxed)的钛合金试样, 采用单因素方差分析(One-way ANOVA)与 Tukey 多重比较检验评估不同组织类型的力学性能差异, 并结合误差传递理论进行不确定度量化, 为工程应用提供统计学可靠的量化依据。

通过对力学性能对比分析表的数据分析, 观察到魏氏组织所具有的抗弯强度和抗拉强度均高于其他组织类型, 说明其抗变形能力更强。而等轴组织在断后延伸率表现上最为突出, 显示出更好的塑性和韧性。此外, 硬度 HB 数据显示, 网篮组织的硬度略高, 这可能与其组织结构的稳定性有关。

选取抗弯强度(σ_{bb})、屈服强度(σ_y)、弹性模量(E)、密度(ρ)、断后延伸率(δ)、布氏硬度(HB)及抗拉强度(σ_{uts})作为关键力学性能指标, 每种组织类型设置 5 个重复样本($n=5$)。实验数据经 Shapiro-Wilk 正态性检验($p > 0.05$)与 Bartlett 方差齐性检验($p > 0.05$)后, 采用单因素方差分析($\alpha=0.05$)进行显著性差异检验, 并通过 LSD 法进行两两比较, 如表 2。

方差分析显示, 魏氏组织的抗弯强度($\sigma_{\text{bb}} = 1058 \pm 12 \text{ MPa}$)与抗拉强度($\sigma_{\text{uts}} = 1020 \pm 10 \text{ MPa}$)显著高于其他组织类型($p < 0.01$), 其强化机制主要源于初生 α 片层(α_p)的取向排列与 β 转变组织(β_t)的协同承载。等轴组织的抗弯强度虽较低, 但其屈服强度(与抗拉强度)仍满足航空紧固件的最低要求[14]。

等轴组织在断后延伸率($\delta = 15.0\% \pm 1.2\%$)与断面收缩率($\psi = 24.5\% \pm 1.5\%$)方面表现最优, 显著高于魏氏组织($\delta = 8.0\% \pm 0.8\%$, $\psi = 23.5\% \pm 1.0\%$, $p < 0.01$), 表明其等轴 α 相(α_e)的均匀分布可有效协调塑性变形。网篮组织与双态组织的塑性指标居中, 断后延伸率分别为 $10.0\% \pm 0.9\%$ 与 $12.0\% \pm 1.0\%$ 。

网篮组织的布氏硬度(HB = 350 ± 8)显著高于其他组织($p < 0.05$), 其高硬度源于 β 相的网状交织结构与细小次生 α 片层(α_s)的强化效应。弹性模量(E)在四种组织间无显著差异($p = 0.12$), 平均值为 $127.75 \pm 1.5 \text{ GPa}$, 符合钛合金刚度设计需求($E_{\text{Ti}} = 110\text{--}120 \text{ GPa}$)。

四种组织的密度(ρ)范围为 $4.43\text{--}4.46 \text{ g/cm}^3$, 平均值 $4.445 \pm 0.012 \text{ g/cm}^3$, 与理论密度($\rho_{\text{Ti}} = 4.51 \text{ g/cm}^3$)的相对偏差 $\leq 1.5\%$, 表明铸造工艺对密度的影响可忽略, 为航空航天的轻量化设计提供了稳定参数。

综上所述, 本研究不但揭示了物理常温拉伸钛合金铸件中不同微观组织类型对其力学性能的影响, 而且基于力学性能对比分析表中综合的数据结果, 如表 3, 为钛合金在航空航天、生物医疗等领域的工程应用提供了重要的参考依据。本研究的结论及分析, 在既保证了科研的严谨性又确保了实际应用的可靠性, 为高性能钛合金材料的研发与应用提供了科学的指导和理论基础。

Table 3. Comparative analysis of mechanical properties
表 3. 力学性能对比分析表

微观组织类型	抗弯强度(MPa)	屈服强度(MPa)	弹性模量(GPa)	密度(g/cm ³)	断后延伸率(%)	硬度HB	抗拉强度(MPa)	断面收缩率(%)
魏氏组织	1058	980	130	4.43	8	336	1020	23.5
网篮组织	1045	970	129	4.44	10	350	1010	24
双态组织	1032	960	127	4.45	12	342	980	23
等轴组织	1015	930	125	4.46	15	329	961	24.5
平均值	1037.5	960	127.75	4.445	11.25	339.25	992.75	23.75

5. 结论

本研究对物理常温拉伸钛合金铸件的组织和力学性能进行了深入探究。经过铸造工艺的优化，获得了不同成分组合的钛合金样品，具体配方包括 Ti-6Al-4V、Ti-5Al-2.5Sn 和 Ti-3Al-2.5V [15]。通过扫描电子显微镜(SEM)、透射电子显微镜(TEM)及 X 射线衍射(XRD)分析了合金的微观组织特征。结果显示，Ti-6Al-4V 合金中出现了较为均匀的 α 相与 β 相分布， α 相的平均颗粒尺寸为 5 微米， β 相颗粒的平均直径为 15 微米。相较之下，Ti-5Al-2.5Sn 合金中 α 相呈现明显的片状特征，影响了其力学性能。

力学性能方面，针对铸件进行了室温拉伸实验。Ti-6Al-4V 合金的屈服强度达到 900 MPa，抗拉强度为 950 MPa，延伸率为 10%。与之相比，Ti-5Al-2.5Sn 合金表现出屈服强度为 750 MPa，抗拉强度为 800 MPa，而延伸率则下降至 6%。这表明不同合金成分对组织和性能的影响显著，尤其是在延展性方面的差异。

在热处理实验中，采用不同的退火温度(650°C、750°C 和 850°C)处理 Ti-6Al-4V 样品，分析其对力学性能的影响。结果表明，750°C 处理后的样品屈服强度和抗拉强度分别提高至 920 MPa 和 970 MPa，而 850°C 退火样品虽富于塑性，延伸率提升至 15%，但强度有所下降。这一结果表明适当的热处理可优化钛合金的综合性能。

显微硬度测试显示，Ti-6Al-4V 合金的硬度值为 370 HV，而 Ti-5Al-2.5Sn 合金的硬度为 330 HV，硬度的提升同样与合金的微观组织密切相关。针对材料的疲劳性能，进行了循环加载实验，Ti-6Al-4V 合金显示出良好的疲劳寿命，其疲劳极限为 500 MPa，显著优于其他类型合金。

热膨胀性能的测定显示，钛合金的线性热膨胀系数在 $10.9\sim11.9 \times 10^{-6}/K$ 之间变化，表明其在高温环境下的结构稳定性。微观结构表征与性能测试的关联显示，合金组织的细化有助于增强力学性能，且各成分铸件的相互作用也在塑性和强度之间呈现出复杂的权衡关系。

本研究涉及的全流程优化方法不仅揭示了不同成分和处理工艺对钛合金铸件的影响，同时为钛合金的实际应用提供了重要的理论依据和实验支持，为后续研究打下了坚实的基础。科研成果显示，通过控制合金成分与热处理参数，能够精确调控钛合金铸件的力学性能，为航空航天、汽车制造等领域的高性能材料开发提供了新的方向。

参考文献

- [1] 刘高扬, 赵文侠, 王曦. ZTA15 钛合金铸件异常组织形成及对拉伸行为的影响[J]. 航空材料学报, 2020, 40(4): 45-51.
- [2] 张桐源. 钛合金薄壁 T 形结构双侧激光焊接焊缝质量与成形工艺试验研究[D]: [硕士学位论文]. 杭州: 浙江大学, 2024.
- [3] Yazc, A. (2024) Wear on Steel Tillage Tools: A Review of Material, Soil and Dynamic Conditions. *Soil & Tillage Research*, **242**, Article ID: 106161. <https://doi.org/10.1016/j.still.2024.106161>
- [4] 赵秀峰, 彭芳, 寇延清, 等. 激光快速修复 TC18 钛合金的显微组织和拉伸力学性能[J]. 铸造设备与工艺, 2022(6): 40-43.
- [5] Hu, K.L., Huang, C.W., Zeng, H.T., et al. (2024) Understanding Deformation and Fracture Mechanism of Ti-55531 Alloy under Complex Loading Conditions: A Case of Pre-Tensioned Torsion. *Rare Metals*, **43**, 6673-6693. <https://doi.org/10.1007/s12598-024-02832-4>
- [6] 周建伟. TC21 钛合金网篮组织优化及其对力学性能影响研究[D]: [硕士学位论文]. 南昌: 南昌航空大学, 2022.
- [7] Wang, M., Huang, X.W., Xue, P., et al. (2021) Effect of Rotation Rate on Microstructure and Mechanical Properties of Friction Stir Processed Ni-Fe-Based Superalloy. *Acta Metallurgica Sinica*, **34**, 1407-1420. <https://doi.org/10.1007/s40195-021-01240-2>
- [8] 宗学文, 刘文杰, 杨学东. 熔模铸造型的钛合金连接件的微观组织和拉伸性能[J]. 热加工工艺, 2020, 49(15): 36-38, 42.

-
- [9] 刘石双, 蔡建明, 周毅, 等. 退火温度对多向锻造 Ti-6Al-4V 合金显微组织演变和拉伸行为的影响[J]. 中国有色金属学会会刊, 2024, 34(6): 1864-1877.
 - [10] 邓雨林. 激光立体成形 Ti-6Al-4V-1Mo 合金循环热处理显微组织及力学性能研究[D]: [硕士学位论文]. 西安: 长安大学, 2023.
 - [11] 贺骁勇, 邢淑清, 郎瑞卿, 等. 脉冲磁场对 TC18 钛合金时效过程中组织和性能的影响[J]. 金属热处理, 2024, 49(2): 203-207.
 - [12] 范荣磊, 武永, 陈明和, 等. TA32 钛合金板材在热拉伸变形过程中显微组织, 力学性能与组织的关系[J]. 中国有色金属学报(英文版), 2020, 30(4): 928-943.
 - [13] 杨柳, 于辉, 王占瑞, 等. 热处理工艺对 Ti-555 装甲钛合金微观组织与力学性能的影响[J]. 材料热处理学报, 2024, 45(11): 93-100.
 - [14] 黄开虎. 面向激光立体成形的新型 Ti64-2Cr-xMo 合金显微组织和室温力学性能研究[D]: [硕士学位论文]. 西安: 长安大学, 2022.
 - [15] 朱知寿, 商国强, 王新南, 等. 航空用钛合金显微组织控制和力学性能关系[J]. 航空材料学报, 2020, 40(3): 1-10.